334

イオンプレーティングで作製したTiN皮膜の残留応力

岡山大工 正 本田和男 岡山大院 学 〇岡田光正

岡山工技セ 岡山工技セ E 西田典秀 川崎仁士

岡山理大工 正 細川智生

1. 緒言

イオンプレーティングやスパッタ等で作製したTi N皮膜に発生する残留応力については、既にいくつかの検討がなされており^{1)、4)},数GPaオーダーの圧縮応力の存在が報告されている。

ところで、TiNはN/Ti比で0.6~1.0前後の広い組成範囲を有し5つ、その性質はN/Ti比で変化することも知られている6つ。また、残留応力の発生にNイオンの打ち込みなどの機構が提案されており^{2つ}、皮膜中のN濃度は皮膜の残留応力に影響を及ぼす重要な因子の一つと考えられる。しかし、従来の報告には皮膜組成の影響を系統的に調べた例はほとんどみられない。

そこで本報告では、TiN皮膜の残留応力に及ぼす皮膜組成の影響を検討することを目的とした。併せて、成膜による基板の変形量より求めた残留応力値とX線応力測定法による測定値の比較を試みた。

2. 実験方法

2-1.皮膜の作製方法

皮膜の作製には高周波イオンプレーティング装置を用い,RF電力600W,バイアス電圧-200 V一定とし,基板温度は500 Cとした.皮膜のN/Ti比の制御は,窒素導入圧を一定 $(6.67 \times 10^{-2} \, Pa)$ とし,Tiの蒸発量を変化させることにより行った。また,一部酸素ガスを導入し酸素濃度の異なる皮膜も作製した。

皮膜の組成分析には、X線マイクロアナライザー(EPMA)を用い^{6>7}次式で皮膜の組成比(N/Ti比)を計算した。

$$N/Ti = N at\% / Ti at\%$$

基板には(111)に配向した市販のシリコンウェハー(2インチ径,0.5 mm厚)を用いた。また作製した皮膜について X線回折($Cu-K\alpha$),硬さ測定を行った。硬さ測定はマイクロビッカース試験機を用い10gの荷重で圧痕を付け SEM により写真撮影後,写真上で対角線長さを測定して行った。

2-2. 残留応力の測定

皮膜の残留応力の測定は、Glangらの方法⁶⁷(たわみ法)に従い基板の変形量より算出した。

ウェハーの曲率の測定は、表面粗さ計を用い半径方向の表面プロファイルをとることにより行った。また、ウェハー固有の曲率のため蒸着前と蒸着後のたわみを測定し(図1)、両者の差を求めそれをたわみ δ とした。そして、図2のように最小二乗法により放物線近似を行ったのち δ / ρ 2 を算出し、次式 δ 3 により応力値に換算した。

$$\sigma = \frac{E}{3(1-v)} \cdot \frac{t s^2}{t_f} \cdot \frac{\delta}{\rho^2} \qquad (1)$$

ここで,E, ν は基板の弾性定数,ポアソン比 [Si(111):(1- ν)/E=4.338×10⁻¹²(Pa-1)] で ts ,t + はそれぞれ基板の厚さ,皮膜の厚さである.

尚,膜厚の測定は、SEMによる断面観察と表面粗さ計による段差測定を併用した。

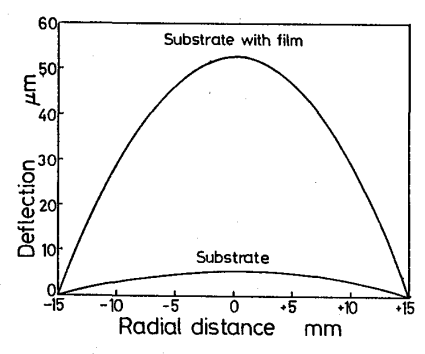


図1. 蒸着前後のSiウェハーのたわみ

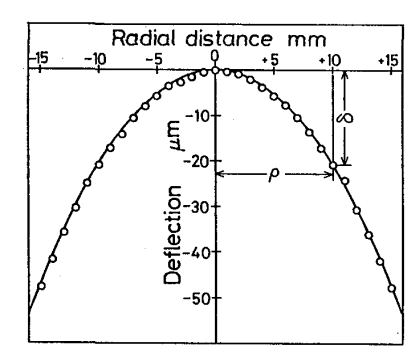


図2. たわみの放物線近似

比較のために行った X 線応力測定は,平行ビーム法による $\sin^2\phi$ 法を用い表 1 の条件に従った.得られた回折強度曲線のピーク位置は 1/4 価幅法を用いて決定し,最小二乗法により $2\theta-\sin^2\phi$ 線図の傾き M を求めた.

表1. X線測定条件

XI. AMMOUNT				
Method	Parallel-beam method			
Characteristic X-ray	Co-Ka			
Diffraction plane	TiN (420)			
Tube voltage	30 kV			
Tube current	6 mA			
Detector	S. C.			
Radiation area	5 × 10 mm²			
Count range	200 cps			
Time constant	32 sec			
Chart speed	20 mm/min			
Scan speed	1 deg/min			

3. 実験結果及び考察

3-1. 残留応力に及ぼす膜厚の影響

化学量論組成(N/Ti比=1)に近い皮膜が形成される条件下で作製した膜厚 $0.07~5.0~\mu$ mの皮膜の残留応力を図3に示す。皮膜の残留応力値はすべて圧縮の値として求められ,膜厚が小さくなるほど大きくなった。しかし,その変化は膜厚 $1.0~\mu$ m以下が大きく,膜厚 $0.07~\mu$ mで-6.3~GPa, $0.4~\mu$ mで-3.8~GPaの値を示した。一方, $1~\mu$ m以上での変化は小さく, $0.9~5.0~\mu$ mの膜厚変化に対し-2.9~-1.0~GPaであった。

膜厚が小さい皮膜で残留応力値が大きくなるのは, 皮膜形成初期でひずみが大きくなることや,基板の影響が大きく現れていることを示唆しているものと考えられる.

以上の結果より、以下の実験では膜厚の影響を考慮 して膜厚を $1.8 \sim 2.8 \mu$ mの範囲とした。

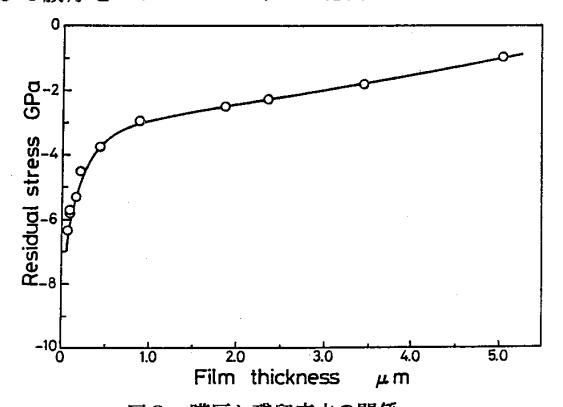
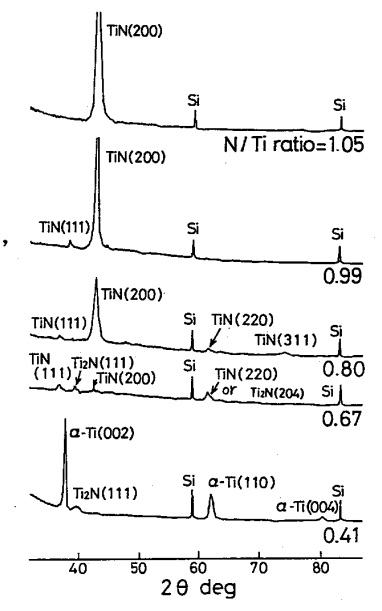


図3. 膜厚と残留応力の関係 3-2. 残留応力値に及ぼすN/Ti比の影響

N/Ti比の変化に よって皮膜の生成相 に変化が見られる(図4).N/Ti比0.80 ~1.05では,(200)に 配向したTiNの回 折線が得られ,Ti2N, Tiなどのピークは 認められなかった. 0.80付近よりN/Ti 比が減少するとTi2 Nの生成がみられ, TiNとTi2Nの混合 組織となる (N/Ti 比=0.67). さらに N /Ti比が小さくなる ことによりα-Tiの



回折線が得られ、 Ti_2N 図4. TiN皮膜のX線回折図形 + α -Tiの混合組織となる(N/Ti=0.41).

図5にN/Ti比による皮膜の残留応力値の変化を示す。TiN単相域で圧縮応力は,N/Ti≒1を最大値としてその前後で減少した。

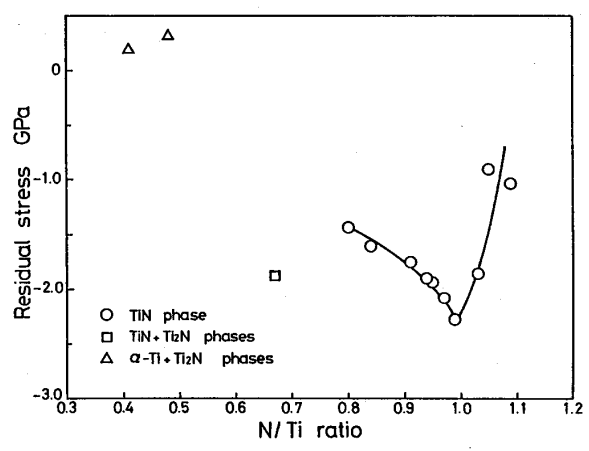


図5. N/Ti比と残留応力の関係

図6にTiN単相域でのN/Ti比とTiN(200) 回折線半価幅との関係を示す。N/Ti比0.8~1.2で残留応力と半価幅はよい対応を示し、応力の高い皮膜で半価幅は狭くなり、応力の低い皮膜で広くなる傾向を示した。半価幅の広がりは材料中の不均一ひずみに起因するものであり、TiN単相域において化学量論組成からずれることにより応力緩和が生じ、不均一ひずみにつながったものと思われる。

 Ti_2N 相が析出する皮膜では再び圧縮応力が増加する傾向がみられ、 $Ti_2N+\alpha-Ti$ 相が共存する皮膜では圧縮応力は生じず0.2-0.3GPaの引張応力となった。

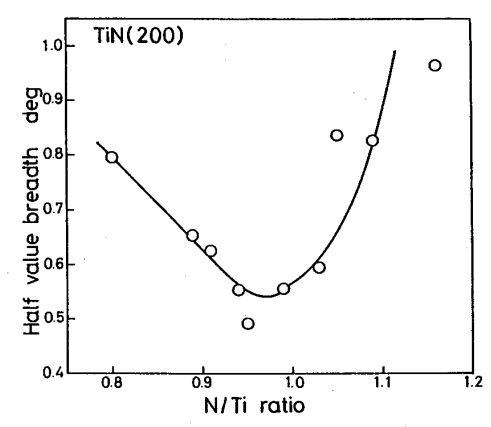


図6. N/Ti比とTiN(200)回折線半価幅との関係

一方,皮膜硬さは残留応力と対応がみられ(表2), 残留応力値が大きい皮膜は高硬度,応力値が小さい皮 膜は低硬度となる傾向が認められた。

表2. N/Ti比と皮膜硬さの関係

N/Ti ratio	Phase	Hardness (Hv)
1.05	TiN	2180
0.99	TiN	2870
0.84	TiN	2210
0.67	TiN + Ti ₂ N	3130
0.41	α-Ti + Ti ₂ N	1600

以上のように、TiN皮膜の残留応力値はN/Ti比で大きく変化した。また応力値の変化は皮膜の生成相、硬さと密接な関連が認められた。

薄膜に生じる内部応力の発生原因として一般的に次 の2つに大別される。

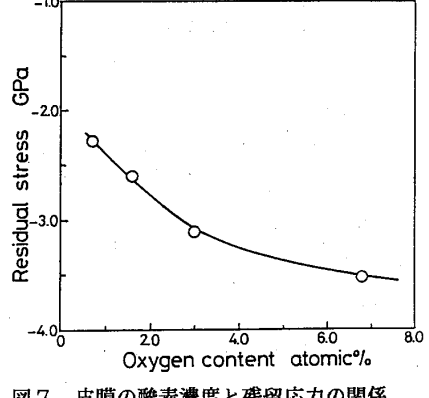
- (1) 皮膜と基板の熱膨張係数の差による熱応力
- (2) 皮膜の形成過程に起因する応力

しかし、TiN/Siの熱応力は引張りとなるため、(1) により本実験で生じた数GPaの圧縮応力を説明することはできない。したがって(2)に主な原因があると考えられる。

イオン窒化、侵ホウ³⁾などにより数GPaオーダーの 圧縮応力の発生が報告されている。これらは材料表面 に異種原子を侵入させる表面処理法であり, 圧縮応力 の発生はこの過程に基ずく表面層の体積膨張であると 説明されている。同様に、イオンプレーティングによ るTiN皮膜形成時においても,Nイオンの打ち込みに よる体積膨張が残留応力発生の原因となることが提案 されている²⁾。しかし、Nイオンの打ち込みによる体 積膨張のみを考えるとき、残留応力はN濃度に比例し て増加するように思われるが、本実験ではそのような 結果は認められなかった。例えば、N/Ti≒1までは圧 縮応力は増加しているが、N/Ti比が1を超えると圧 縮応力は減少している。またTi2N相析出域では圧縮 応力は再び増加している. これより残留応力の発生は 単純にN濃度のみによって説明することはできず、皮 膜の生成相とも深くかかわっていることが確認された.

3-3.皮膜の酸素濃度の影響

Ti時不混膜関れこ力膜のしれに純入の与てでにの影た皮は物し性がい,及酸響図膜酸と¹゚質指る残ぼ素を7)ので、のが、のでではのがない。のでは、ないでは、ないでは、ないでは、ないでは、ないでは、ないでは、



討した(図7)。 図7.皮膜の酸素濃度と残留応力の関係 酸素添加の際,

皮膜組成は (N+O)/Ti=1とした. 残留応力は膜内の酸素濃度が増加するに従い大きくなっている. 残留応力の増加は酸素原子の固溶による皮膜体積の膨張と考えられる.

4. TiN皮膜の弾性定数の推定

皮膜の弾性定数は、X線応力測定の基礎式である次式において変数が 2θ - $\sin^2\phi$ 線図の傾きMのみであることを利用して求めた。

$$\sigma = -\frac{E}{2(1+\nu)} \cdot \frac{\pi}{180} \cdot \cot \theta_{0} \cdot M \quad (2)$$

ここでE, νはそれぞれ皮膜の弾性定数,ポアソン比であり, Θ。は無ひずみ状態での回折角である.

たわみ法により求めた残留応力σと X 線応力測定法 により求めた各皮膜の M を (2)式へ代入することによ りΕ/(1+ν)を求めた.その結果を表3に示す.

表3. TiN皮膜の弾性定数の推定

	N/Ti	膜 厚	σ (GPa)	M	E/(1+ v)	
	ratio	(μm)	(たわみ法)		(GPa)	
	1.03	1.9	-1.9	3.2	189	
į	1.00	1.9	-2.5	4.5	188	
	0.99	2.3	-2.3	3.8	196	
	1.04	3.4	-1.8	5.3	113	
	0.97	5.0	-1.0	3.8	88	

膜厚が2μπ前後のE/(1+ν)は190GPa前後でよい一致を示すが、膜厚の増加によって小さくなった。この原因には、薄膜のためX線回折強度が十分に得られないことや、皮膜の応力勾配などの問題が考えられるが、詳細についてはさらに検討が必要と思われる。5.まとめ

TiN皮膜の残留応力に及ぼす皮膜厚さならびに皮膜組成の影響を検討した、併せて、X線応力測定法と基板の変形量から求めた応力値の比較を行った。その結果,残留応力は膜厚に依存し膜厚が薄くなるほど心力値の増加がみられ $0.07\,\mu$ mで-6.3GPaの値を示した。しかし、 $0.9\sim5\,\mu$ mでの値は $-2.9\sim-1.0$ GPaの範囲であった。同様に,残留応力はN/Ti比で変化し化学量論値(N/Ti比=1,膜厚 $2.3\,\mu$ m)で最大値-2.2GPaを示した。N/Ti比による残留応力の変化は,生成相及び皮膜硬さと密接な関係が認められた。また皮膜中への酸 膜でさと密接な関係が認められた。また皮膜中への酸素の添加により残留応力の増加がみられた。TiN皮膜のE/($1+\nu$)は膜厚が $2\,\mu$ m前後で約190GPaを示し膜厚の増加により小さくなる傾向を示した。

参考文献

1) L.Chollet , A.T.Perry; Thin Solid Films, 123, 2 23(1985) 2) 鈴木寿,松原秀彰,松尾明,渋木邦夫;日本金属学会誌,49,773,(1985) 3) 西田典秀,川崎仁士,本田和男,細川智生;金属表面技術,37,346(1986) 4) S.kanamori; Thin Solid Films,136,195(1986) 5) Metals handbook (Vol.8),P332 (American Soc.Met, 1973) 6) 西田典秀,川崎仁士,本田和男,細川智生;金属表面技術,38,483(1987) 7) 戸谷恒夫,加藤昭実,榎本祐嗣;真空,25,75(1982) 8) R.Glang,R.A.Holmwood,R.L.Rosenfeld; Rev.Sci.Instrum.36.7(1965) 9) 遠藤隆士,河上譲,森信儀;第22回X線材料強度に関する討論会講演論文集 P69(1985) 10) 西田,横山;金属表面技術,36,330(1985)